



مطالعه ساختار و فعالیت آنزیم ریبونوکلئاز پانکراس گاوی در حضور داروی آلوپورینول

محمود نجفیان، فرشید کفیل‌زاده* و سحر جانفشنان

دانشگاه آزاد اسلامی، واحد جهرم، گروه زیست‌شناسی، جهرم، ایران

kafilzadeh@jia.ac.ir

از دارو رسم شد. نتایج نشان دادند که دارو در غلظت‌های استفاده شده باعث کاهش فعالیت آنزیم می‌شود. سپس بررسی ساختار آنزیم با استفاده از مطالعات اتصال لیگاند و دو رنگ‌نمایی دورانی انجام شد که نتایج نشان داد که آلوپورینول باعث تغییر ساختار آنزیم نیز می‌شود. در مجموع می‌توان گفت این دارو به احتمال قوی اثر مهارکننده‌گی بر فعالیت آنزیم ریبونوکلئاز A دارد.

کلمات کلیدی: ریبونوکلئاز پانکراس گاوی، آلوپورینول، cCMP

چکیده

ریبونوکلئاز پانکراس گاوی نوع (A) یک آنزیم اندوریبونوکلئاز است و نقش آن شکستن پیوندهای شیمیایی فسفودی استر در ساختمان RNA تک-رشته‌ای طی یک واکنش دو مرحله‌ای می‌باشد. مرحله‌ای اول این واکنش آنزیمی یک واکنش ترانس‌فسفریلاسیون و مرحله‌ای دوم آن، یک واکنش هیدرولازی (آبکافت) است. آلوپورینول ایزومر ساختاری هیپوگراتین (یکی از پورین‌های طبیعی بدن) می‌باشد که با مهار آنزیم گزانتین اکسیداز تولید اسید اوریک را کاهش می‌دهد و یکی از داروهای پرمصرف در درمان نقرس است. این دارو به علت داشتن ساختار نوکلئوتیدی ممکن است بر روی ساختار و فعالیت آنزیم ریبونوکلئاز پانکراس گاوی مؤثر باشد. با توجه به اهمیت آنزیم‌های ریبونوکلئاز در تجزیه انواع مولکول‌های RNA برای حفظ تعادل سیستم سلولی، باید تأثیر انواع مولکول‌های زیستی و داروهایی را که ممکن است بر روی فعالیت این آنزیم اثرگذار باشند بررسی کرد. بنا بر این در تحقیق حاضر تأثیر این آلوپورینول در غلظت‌های مختلف بر روی ساختار و فعالیت آنزیم ریبونوکلئاز پانکراس گاو بررسی می‌شود. در ابتدا منحنی اشباع آنزیم در حضور سوبسترانی cCMP رسم شد. سپس اثر آلوپورینول در محدوده غلظتی $0\text{--}5\text{ }\mu\text{M}$ میلی‌مولار بر روی سرعت بیشینه آنزیم بررسی شد و پس از آن منحنی اشباع آنزیم در حضور چند غلظت

مقدمه

ریبونوکلئاز پانکراس گاوی نوع (A) یک اندوریبونوکلئاز با شماره آنزیمی EC 3.1.27.5 می‌باشد که از سلول‌های اگزوفکرین پانکراس گاو ترشح می‌شود. این آنزیم بسیار شناخته شده است و بطور گسترده‌ای در مورد خواص فیزیکی، شیمیایی و آنزیمی آن مطالعه شده است. ریبونوکلئاز A متشکل از یک زنجیره پلی‌پیتیدی با تعداد ۱۲۴ واحد اسید‌آمینه می‌باشد که حداقل فعالیت آنزیمی و نقطه ایزووالکتریک آن به ترتیب در pH=7.5 و pI=9.45 گزارش شده است [۱۶-۱۷]. شکل کلی آنزیم شبیه کلیه و یا لوبيای قرمز است. دارای دو لپ می‌باشد که بوسیله یک شکاف باردار مثبت (حاوی رزیدوهای کاتالیتیکی) که محل قرارگیری سوبسترانی RNA است از یکدیگر جدا



می‌دهد. با کاهش غلظت سرمی و ادراری اسید اوریک، رسوب اورات کاهش می‌یابد و از بروز یا پیشرفت آرتیریت نقرسی و نفروپاتی ناشی از اسید اوریک جلوگیری می‌شود. همچنین آلوپورینول میزان هیپوگزانتین و گرانتین را که برای ساخت نوکلئوتید و اسیدنوکلئیک از طریق مسیری که شامل آنزیم هیپوگزانتین گوانین فسفوریبوزیل ترانسفراز است، افزایش می‌دهد. آلوپورینول یکی از داروهای پرصرف در درمان نقرس است. از آلوپورینول در مواردی همچون افزایش اسید اوریک خون و هنگام بروز سنگ‌های اگرالات کلسیمی نیز استفاده می‌شود. میزان مصرف این دارو در بیماری نقرس و در بزرگسالان ۲۰۰ تا ۶۰۰ میلی‌گرم است که مقدار آن با توجه به شدت بیماری توصیه می‌شود. همچنین این دارو در کودکان شش تا ده سال ۳۰۰ میلی‌گرم و در کودکان زیر شش سال، ۱۵۰ میلی‌گرم روزانه تجویز می‌شود [۱۴، ۱۱، ۵]. با توجه به اهمیت آنزیم RNA های ریبونوکلئاز در تجزیه انواع مولکولهای RNA برای حفظ تعادل سیستم سلولی، باید تأثیر انواع مولکولهای زیستی و داروهایی را که ممکن است بر روی فعالیت این آنزیم اثرگذار باشند بررسی کرد. با توجه به این مطلب در این پژوهه تأثیر این ترکیبات در غلظت‌های مختلف بر روی ساختار و فعالیت آنزیم ریبونوکلئاز پانکراس گاو بررسی می‌شود.

مواد و روش کار

۱) سنجش فعالیت آنزیمی ریبونوکلئاز A: در این پژوهه مطالعات سینتیکی با استفاده از دستگاه CECIL اسپکتروفوتومتر ماوراء بنفش- مرئی مدل ۹۰۰۰ nm طول موج ۲۸۴ [۱۴] و در دمای ۲۷°C انجام شده است. بافر مورد استفاده Tris-

می‌شوند. فرمول مولکولی و بی بار آنزیم بصورت $C_{575}, H_{907}, O_{192}, S_{12}$ آنزیم دارای ۱۲۴ آمینواسید است که در بین آنها ۱۹ تا از ۲۰ اسیدآمینه طبیعی دیده می‌شود و تنها اسیدآمینه تریپتوфан در ساختار آن وجود ندارد. اسیدآمینه‌های بازی در ساختار این پروتئین شامل ده لیزین، چهار آژرین و چهار هیستیدین است در حالیکه اسیدآمینه‌های اسیدی شامل پنج گلوتامیک اسید و پنج آسپارتیک اسید می‌باشد. بنابراین تعداد اسیدآمینه‌های بازی بیش از اسیدآمینه‌های اسیدی است و در نتیجه آنزیم در pH ۵ فیزیولوژیک بار مثبت پیدا کرده و به عنوان یک پروتئین کاتیونی شناخته می‌شود [۲۳، ۱۰، ۱۸، ۲۰]. نقش آنزیم ریبونوکلئاز A شکستن پیوندهای شیمیابی فسفودی استر در ساختمان RNA تک رشته‌ای طی یک واکنش دو مرحله‌ای و در محل ۵' استر می‌باشد. مرحله اول این واکنش آنزیمی یک واکنش ترانس-فسفولیاسیون (ترانس استریفیکاسیون) است که منجر به تشکیل حد واسطه $^{2'}\text{O}-\text{OH}$ و $^{3'}\text{O}-\text{OH}$ فسفات حلقوی (حدواسط فسفودی استر حلقوی) در یک سمت از پیوند شکسته شده و گروه آزاد $^{5'}-\text{OH}$ درست می‌گردد. مرحله دوم این واکنش آنزیمی، یک واکنش هیدرولازی (آبکافت) است که منجر به تجزیه شیمیابی حدواسط فسفودی استر حلقوی و تشکیل انتهای مونواستری $^{3'}\text{O}-\text{OH}$ فسفات (فسفو الیگو نوکلئوتید) می‌شود. مرحله ترانس فسفولیاسیون بسیار سریع‌تر از مرحله هیدرولازی صورت می‌گیرد به همین دلیل در این پژوهه تمام آزمایشات بر روی مرحله هیدرولازی آنزیم ریبونوکلئاز A انجام شده است [۱۹]. آلوپورینول ایزومر ساختاری هیپوگزانتین (یکی از پورین‌های طبیعی بدن) است که با مهار آنزیم گرانتین اکسیداز تولید اسید اوریک را کاهش



ابتدا حجم و غلظت یکسانی از بافر و سوبسترا به دو محفظه شاهد و نمونه اضافه شد. سپس آنزیم به همراه غلظت مورد نظر داروی آلوپورینول دو دقیقه آنکوبه شد و به محفظه نمونه مجموع آنزیم و دارو و به محفظه شاهد مجموع بافر و دارو افزوده گردید. ثبت سرعت آنزیم در محدوده غلظتی $0\text{--}2\text{ mM}$ سوبسترا و در هر غلظت از دارو با سه بار تکرار انجام گرفت. منحنی اشباع آنزیم نیز برای هر غلظت دارو به طور جداگانه پس از ثبت داده‌ها رسم شد (شکل ۷).

۴) مطالعه تأثیر لیگاند آلوپورینول بر ساختار آنزیم ریبونوکلئاز A: این بررسی با استفاده از دستگاه اسپکتروفوتومتری ماوراء بنفس مدل CECIL 9000، در طول موج 280 nm و در بافر-Tris 100 mM EDTA 2 mM شامل Tris 100 mM EDTA 2 mM pH=۷/۵ انجام شده است. غلظت اولیه آنزیم (بدون تیتراسیون با آلوپورینول) $5\text{ }\mu\text{M}$ در نظر گرفته شد. ابتدا حجم یکسانی از بافر در هر دو محفظه شاهد و نمونه ریخته شد. سپس اختلاف جذب آنها در طول موج 280 nm صفر گردید. به محفظه نمونه آنزیم و به محفظه شاهد هم حجم آنزیم بافر اضافه و جذب آنزیم در 280 nm خوانده شد. در مرحله بعد، به هر دو محفظه با غلظت و حجم یکسان آلوپورینول افزوده و پس از ۳ دقیقه آنکوباسیون در دمای محیط جذب در طول موج 280 nm ثبت گردید. به این ترتیب تیتراسیون مرحله به مرحله انجام گرفت و در هر مرحله بعد از ۳ دقیقه آنکوباسیون جذب مربوط به هر نقطه تیتراسیون خوانده شد. هم زمان نمودار غلظت آلوپورینول علیه جذب در طول موج 280 nm رسم شد و تا به اشباع رسیدن منحنی، تیتراسیون ادامه داده شد. در اینجا غلظت لیگاند یعنی آلوپورینول و

Tris 100 mM EDTA 2 mM شامل Tris 100 mM EDTA 2 mM با pH=۷/۵ بوده است [۱۸]. در بررسی های سیتیکی از غلظت $5\text{ }\mu\text{M}$ آنزیم ریبونوکلئاز پانکراس گاوی در حضور سوبسترانی cCMP 2 mM - استفاده شده است. ثبت سرعت آنزیم در هر غلظتی از سوبسترا با سه بار تکرار انجام گرفت و با استفاده از میانگین سرعتهای ثبت شده منحنی اشباع آنزیمی ترسیم شد [۱۵ و ۱۲، ۳-۴].

(۲) بررسی اثر داروی آلوپورینول بر فعالیت آنزیم ریبونوکلئاز A: پس از رسم منحنی اشباع آنزیمی در غلظت های مناسب سوبسترا، در غلظت $0\text{--}8\text{ mM}$ سوبسترا که سرعت آنزیم به بیشینه مقدار خود می‌رسد، بررسی اثر داروی آلوپورینول بر فعالیت آنزیم ریبونوکلئاز A در محدوده غلظتی $0\text{--}1\text{ mM}$ و $0\text{--}5\text{ mM}$ انجام شد. به محفظه شاهد و نمونه که از جنس کوارتز با ضخامت یک سانتی‌متر بودند، با حجم و غلظت یکسان بافر و سوبسترا اضافه شد. سپس اختلاف جذب دو محفظه در 284 nm صفر گردید. آنزیم به همراه غلظت مورد نظر دارو در محدوده‌های ذکر شده ۲ دقیقه آنکوبه شد و سپس به محفظه نمونه مجموع آنزیم و داروی مورد نظر و به محفظه شاهد مجموع بافر و دارو افزوده گردید تا غلظت محتویات هر دو یکسان باقی بماند. ثبت سرعت آنزیم در غلظت $0\text{--}8\text{ mM}$ سوبسترا و در هر غلظت دارو با دو بار تکرار انجام گرفت. در پایان نیز نمودار سرعت باقی‌مانده علیه غلظت‌های مختلف دارو رسم گردید (شکل ۵ و ۶).

(۳) بررسی اثر داروی آلوپورینول بر منحنی اشباع آنزیمی آنزیم ریبونوکلئاز A: بررسی اثر داروی آلوپورینول بر منحنی اشباع آنزیمی در غلظت‌های $1\text{--}5\text{ mM}$ آن انجام شده است. در این بررسی نیز



واری بر حسب درجه در یک طول موج خاص می‌باشد. دستگاه توسط ماده (+)- $\text{Cafo}(\text{F})_2\text{SO}_4$ و با توجه به مقدار گزارش شده است. حذف اغتشاشات موجود در منحنی‌های ثبت شده نیز با استفاده از نرم‌افزار Aviv بدون تغییر در شکل اصلی منحنی‌ها صورت گرفته است و برای آنالیز طیف‌ها جهت تعیین میزان ساختارهای دوم از نرم‌افزار CDNN استفاده شده است [۱۹].

نتایج

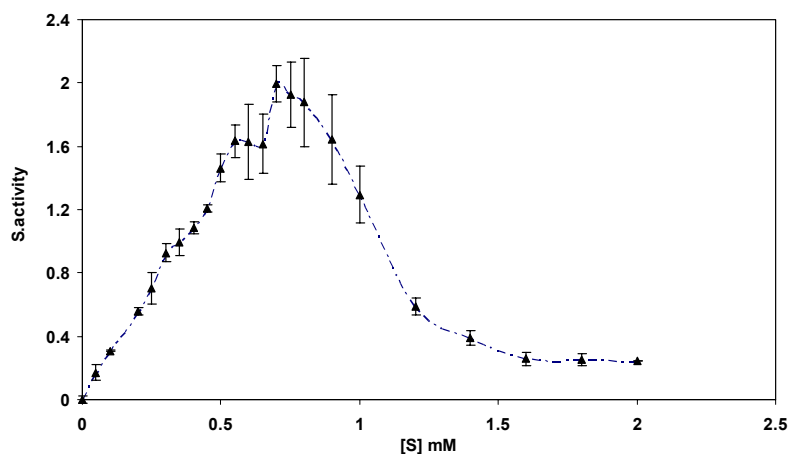
۱) سنجش فعالیت آنزیم ریبونوکلئاز A در حضور سوبسترای cCMP: منحنی اشباع آنزیمی در محدوده غلظتی $0\text{-}2\text{mM}$ سوبسترای cCMP و در غلظت $5\text{ }\mu\text{M}$ آنزیم در هر سنجش، رسم شده است. شکل کلی منحنی به صورت غیرهایپربولیک است که به نظر می‌رسد علت آن ظهر پدیده‌ای همانند پدیده مهار سوبسترایی می‌باشد. این پدیده تقریباً از غلظت $0\text{/}\text{mM}$ سوبسترا آغاز می‌شود و کاهش فعالیت آنزیم را در غلظت‌های بالاتر سوبسترا به دنبال دارد تا جایی که در غلظت 2 mM سوبسترا فعالیت آنزیم نزدیک صفر است (شکل ۱ و ۲).

غلظت آنزیم در هر نقطه از تیتراسیون با استفاده از روابط زیر قابل محاسبه می‌باشد:

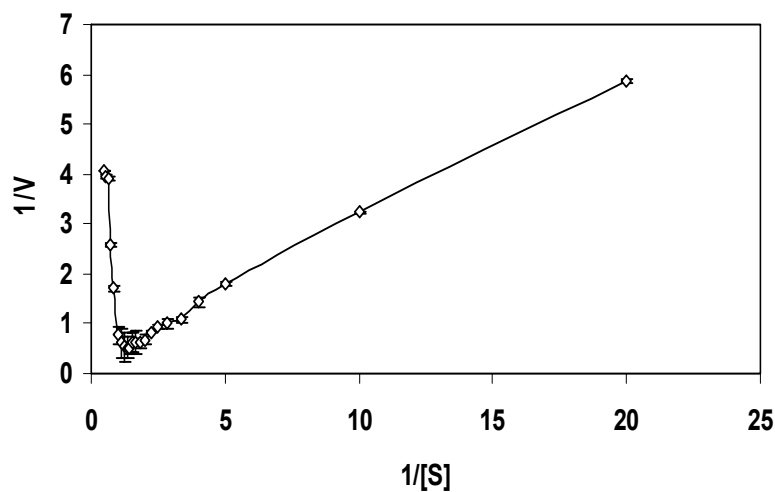
$$[E] = \frac{V_{\circ}}{(V + V_{\circ})} \times [E_{\circ}]$$

$$[L] = \frac{V}{(V + V_{\circ})} \times [Lst]$$

۵) بررسی ساختار دوم آنزیم ریبونوکلئاز A با استفاده از تکنیک دورنگ نمایی دورانی یا CD(CD)**Circular Dichorism** (Far-UVC CD در ناحیه ماوراء بنفس دور spectra) با استفاده از دستگاه طیف نور سنج Jasco J-7.5 در غلظت $25\text{ }\mu\text{M}$ آنزیم و غلظت‌های $1\text{ }\mu\text{M}$ و $5\text{ }\mu\text{M}$ آلوپورینول پس از ۵ دقیقه آنکوباسیون در دمای 27°C ثبت شد و نتایج حاصله براساس واحد بیضی واری مولی (molar ellipticity) یا ($\text{deg cm}^2\text{dmol}^{-1}$) استفاده شد $[\theta]_{\lambda} = (\theta_{\text{obs}} \times 100\text{MRW}) / C.L$ که در آن C نشان‌دهنده غلظت پروتئین بر حسب میلی‌گرم در میلی‌لیتر، L نمایانگر طول مسیر عبوری نور بر حسب cm، MRW متوسط وزن مولکولی یک اسید آمینه و θ مقدار اندازه‌گیری شده از بیضی -



شکل ۱) منحنی اشباع آنزیم در محدوده غلظتی $c\text{CMP}$ $0-2 \text{ mM}$ سوبسترا



شکل ۲) منحنی لینویور-برک. بخشی از منحنی که از حالت خطی خارج شده و به سمت بالا منحرف شده است پدیده مهار سوبسترا را نشان می‌دهد.

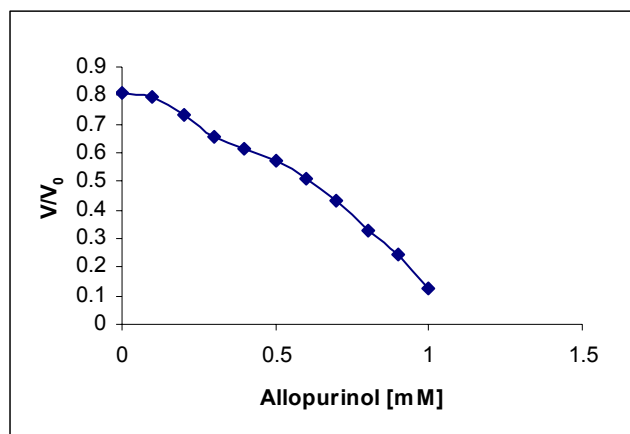
و ۴ مشاهده می‌شود، افزایش غلظت داروی آلوپورینول تا 1 mM منجر به کاهش سرعت آنزیم ریبنوکلثاز A می‌شود. وقتی غلظت آلوپورینول تا 5 mM افزایش می‌یابد سرعت آنزیم باز هم کاهش می‌یابد اما میزان تغییرات سرعت در محدوده $0-1 \text{ mM}$ بسیار کمتر از محدوده $1-5 \text{ mM}$ است. به

۲) بررسی اثر داروی آلوپورینول بر فعالیت آنزیم ریبنوکلثاز A: در یک غلظت مشخص سوبسترا (غلظت 0.8 mM سوبسترا که سرعت آنزیم به حد اکثر مقدار خود می‌رسد) اثر داروی آلوپورینول در محدوده غلظتی $0-1 \text{ mM}$ و $0-5 \text{ mM}$ بر روی فعالیت آنزیم بررسی شد. همان طور که در شکل ۳

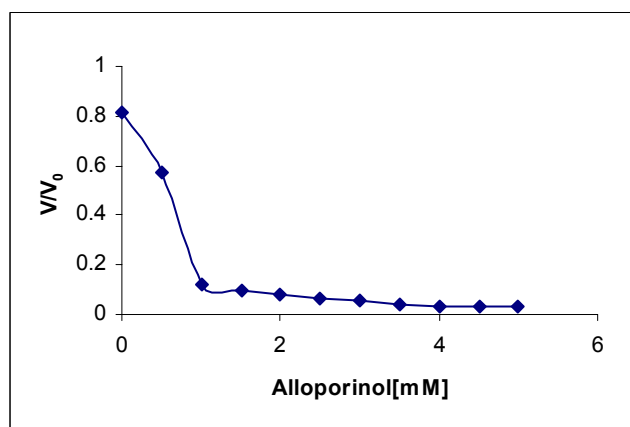


نتایج به دست آمده تا کنون می‌توان گفت این دارو به احتمال قوی اثر مهارکنندگی بر فعالیت آنزیم ریبونوکلئاز A دارد.

همین دلیل به نظر می‌رسد که داروی آلوپورینول بیشترین اثر خود را بر میزان فعالیت آنزیم در محدوده $1\text{--}0\text{ mM}$ دارد. با توجه به



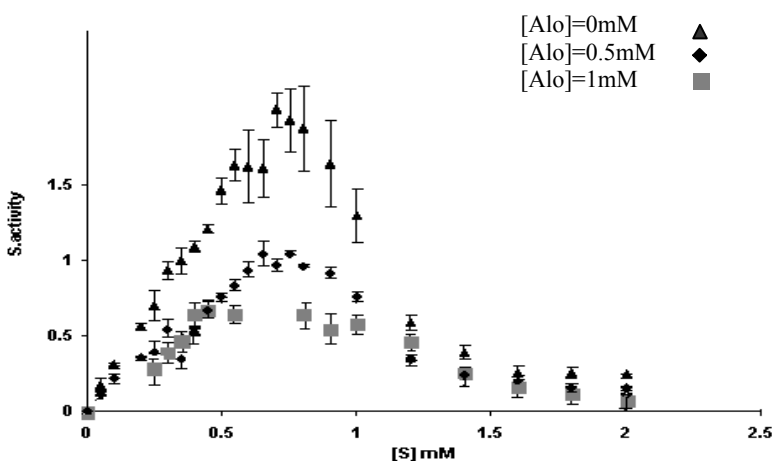
شکل ۳) تأثیر داروی آلوپورینول در محدوده غلظتی $1\text{--}0\text{ mM}$ بر روی سرعت آنزیم ریبونوکلئاز A



شکل ۴) تأثیر داروی آلوپورینول در محدوده غلظتی $1\text{--}5\text{ mM}$ بر روی سرعت آنزیم ریبونوکلئاز A

۰.۸ mM سوبسترا (قله منحنی) می‌باشد، کاهش پیدا می‌کند. در سایر غلظت‌های سوبسترا نیز کاهش سرعت آنزیم وجود دارد اما در این غلظت محسوس‌تر است. با توجه به داده‌های بدست آمده می‌توان گفت که داروی آلوپورینول در غلظت‌های مشخصی اثر مهاری بر روی فعالیت آنزیم دارد.

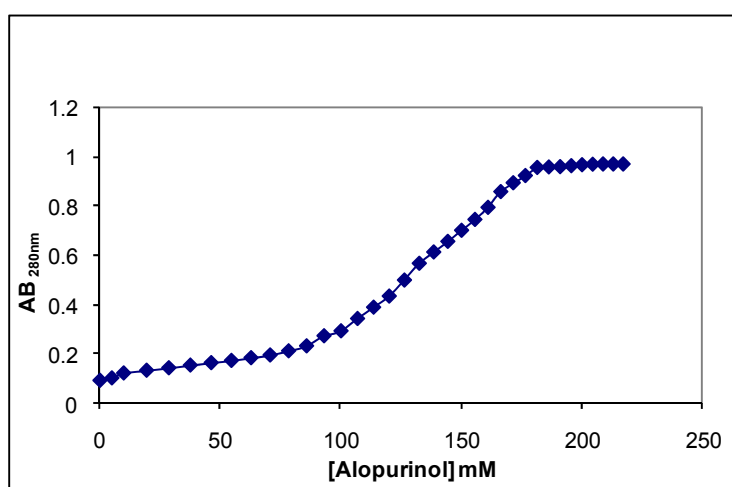
۳) بررسی اثر داروی آلوپورینول بر منحنی اشباع آنزیمی آنزیم ریبونوکلئاز A: بررسی اثر داروی آلوپورینول بر منحنی اشباع آنزیمی در غلظت‌های $1\text{--}0\text{ mM}$ و $1\text{--}5\text{ mM}$ آن انجام شده است. همان طور که در شکل ۵ مشخص است با افزایش غلظت داروی آلوپورینول سرعت بیشینه آنزیم که در غلظت



شکل ۵) منحنی اشباع آنزیم ریبونوکلئاز A در محدوده غلظتی $0\text{--}2\text{ mM}$ سوبسترا و در حضور غلظت‌های $0/5\text{ mM}$ از داروی آلوپورینول.

به اشباع رسیدن کامل آنزیم از آلوپورینول ادامه می-
یابد. در ناحیه اشباع آنزیم، افزایش میزان لیگاند تغییر
محسوسی در میزان جذب کمپلکس آنزیم
ریبونوکلئاز A و لیگاند ایجاد نمی‌کند. تیتراسیون
لیگاند منجر به افزایش منظم غلظت آن و از طرفی
کاهش منظم غلظت آنزیم ریبونوکلئاز A در محیط
واکنش می‌شود.

۴) مطالعه تاثیر لیگاند آلوپورینول بر ساختار آنزیم
ریبونوکلئاز A: در بررسی اتصال لیگاند آلوپورینول
به آنزیم ریبونوکلئاز A همان طور که در شکل ۶
نشان داده شده است، تیتراسیون پی در پی این
ترکیب در محلول حاوی آنزیم با غلظت $25\text{ }\mu\text{M}$
منجر به افزایش جذب کمپلکس آنزیم و لیگاند در
طول موج 280 nm می‌شود. این افزایش جذب تا

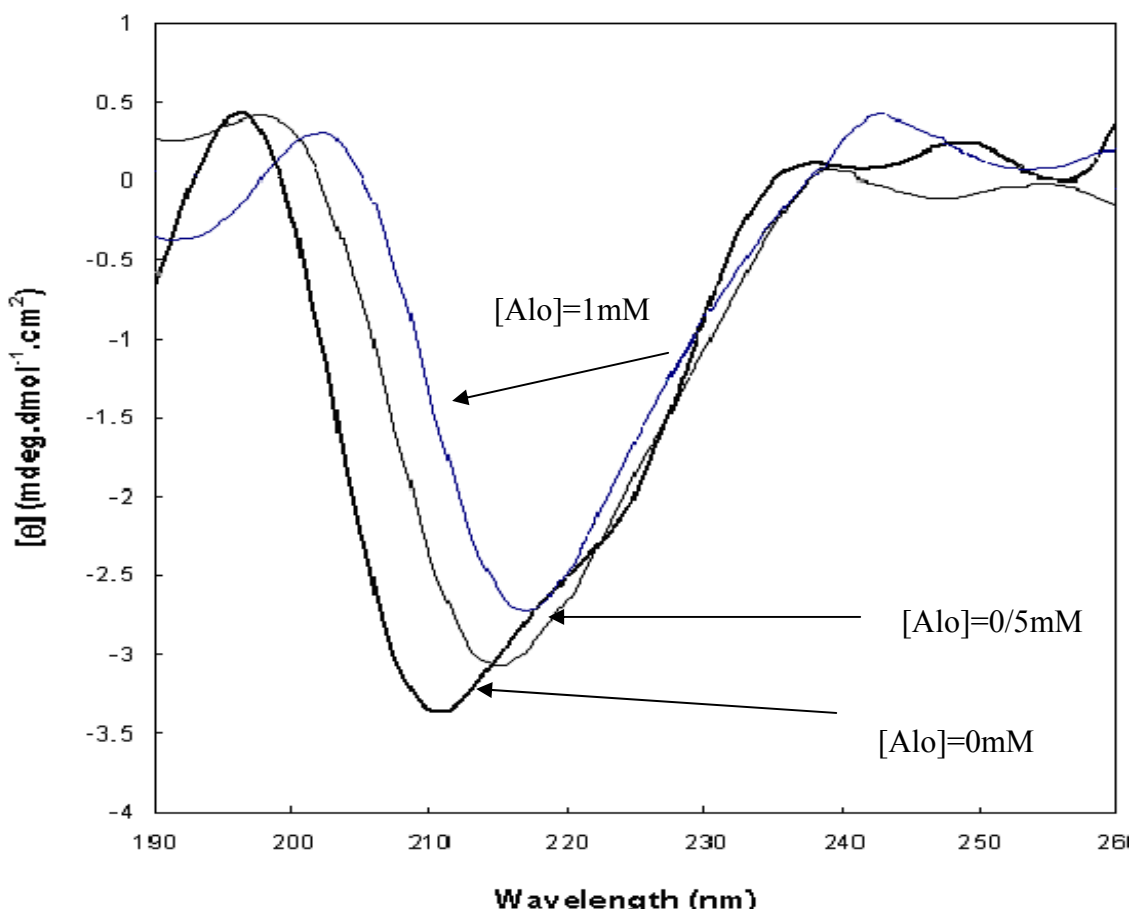


شکل ۶) منحنی اشباع آنزیم ریبونوکلئاز A در حضور داروی آلوپورینول



حضور غلظت‌های مختلف آلوپورینول آنکوبه شده است، نشان می‌دهد. در این شکل افزایش غلظت آلوپورینول تغییرات منظمی را در ساختار دوم آنزیم ایجاد می‌کند.

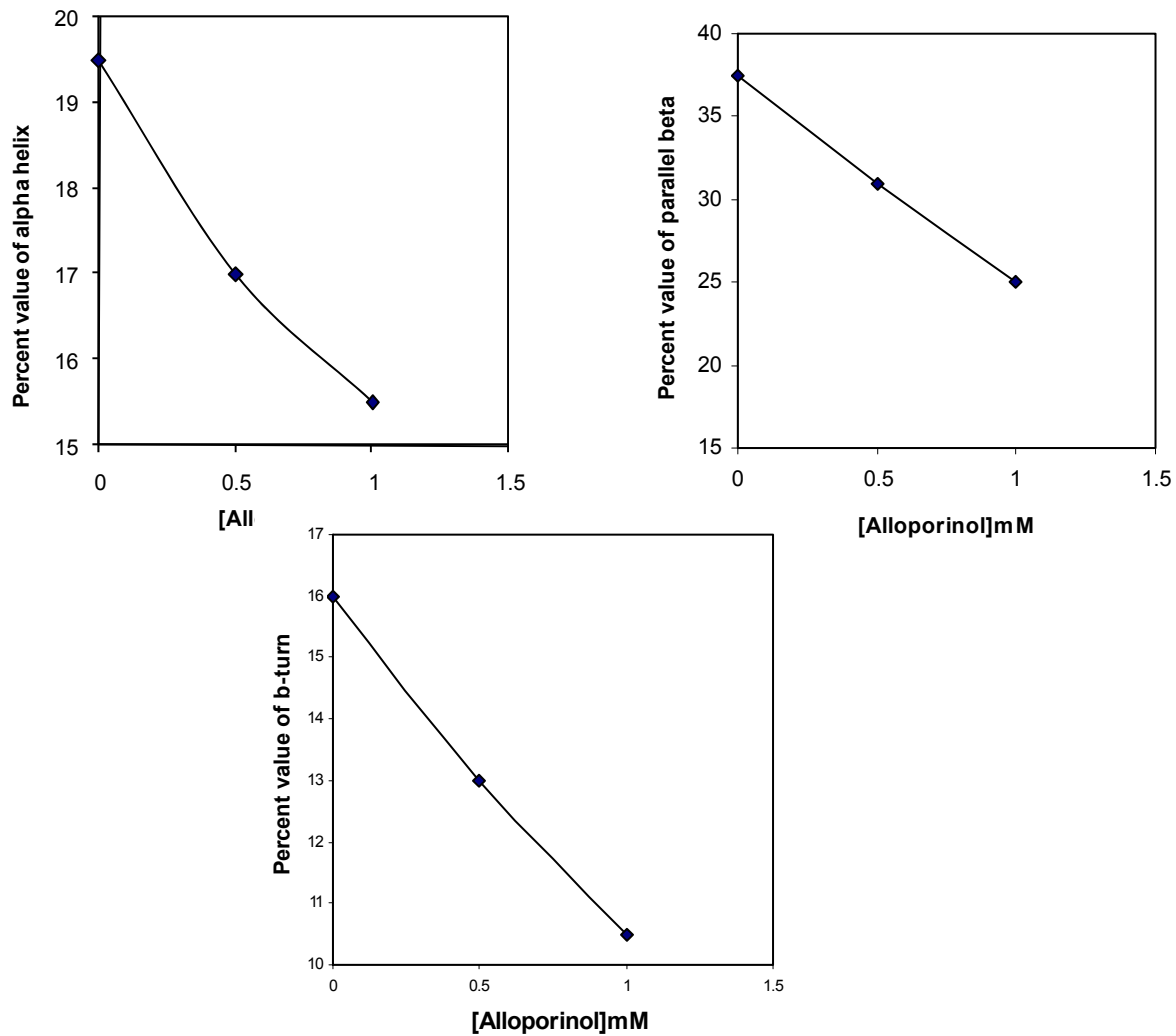
۵) بررسی ساختار دوم آنزیم ریبونوکلئاز A با استفاده از تکنیک دورنگ نمایی دورانی یا (CD)Circular Dichorism: شکل ۷ مقایسه طیف ساختار دوم آنزیم طبیعی و آنزیمی را که در



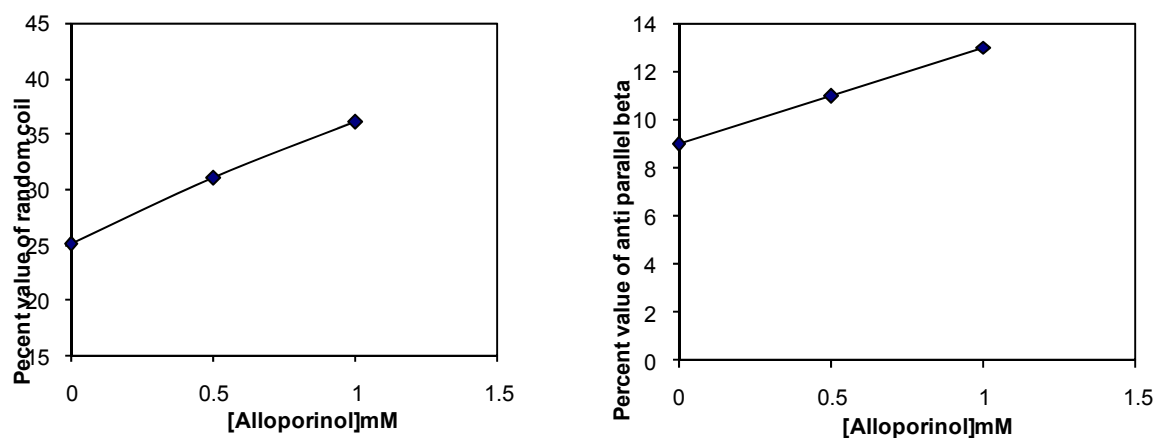
شکل ۷) بررسی تغییرات ساختار دوم آنزیم در حضور غلظت‌های ۰ و ۱ mM آلوپورینول با استفاده از تکنیک دورنگ نمایی دورانی (Circular Dichorism) در ناحیه ۱۹۰–۲۴۰ nm (Circular Dichorism)

همان طور که در شکل ۸ و ۹ نشان داده شده است. به این ترتیب می-
توان از آلوپورینول در غلظت‌های ذکر شده به عنوان عاملی در جهت به هم ریختگی ساختار دوم آنزیم ریبونوکلئاز A نام برد.

در راستای افزایش غلظت آلوپورینول کاهش درصد افزایش درصد α -Helix و Parallel β , β -Turn Anti و Random coil درصد



شکل ۸) کاهش درصد میزان α -Helix ، Parallel β و β -Turn در پی افزایش غلظت داروی آلوپورینول



شکل ۹) افزایش درصد میزان Random coil و Anti parallel β در پی افزایش غلظت داروی آلوپورینول



بحث

هسته هیدروفوب متشکل از اسیدهای آمینه فنیل آلانین، آلانین، والین و لوسین می‌باشد و همچنین یک کاتال با بار مثبت دارد که به عنوان جایگاه فعال آنزیم ریبونوکلئاز A در نظر گرفته می‌شود. تعداد ۱۲ اسید آمینه شناسایی شده‌اند که در میان زیرجایگاه‌های واقع در جایگاه فعال آنزیم واقع شده‌اند و در فرآیند کاتالیتیکی ریبونوکلئاز A، هر کدام نقش خاصی را ایفا می‌کنند. این اسیدهای آمینه عبارتند از: Thr₄₅, Lys₄₁, Gln₁₁, His₁₂, Asp₈₃, Arg₁₀, Lys₁₂₁, His₁₁₉, Asn₇₁ و Lys₆₆. از بین این اسیدهای آمینه برخی از مهمترین آنها His₁₁₉ و His₁₂ هستند. این دو اسید آمینه مهم و مؤثر در فرآیند کاتالیزور آنزیمی ریبونوکلئاز A محسوب می‌شوند. به استناد مطالعات تفرق اشعه X و همچنین NMR، این دو اسد آمینه در دو طرف شیار فعال آنزیم قرار گرفته‌اند. مطالعات جایگزینی شیمیایی نشان می‌دهد چنان‌چه گروه ایمیدازول His₁₂ حذف شود، تمایل آنزیم برای فرآیند شکستن سوبسترا حدود ۱۰^۴ بار کاسته می‌شود. Lys₄₁ نیز یکی از اسید آمینه‌های مهم دیگر در جایگاه فعال آنزیم است. مدیفیکاسیون شیمیایی ریبونوکلئاز A نشان می‌دهد که اسید آمینه Lys₄₁ در فرآیند کاتالیز آنزیمی مشارکت دارد. حال با توجه به ساختار آلپورینول که توانایی شرکت در باند هیدروژنی را از طریق گروه‌های آمین و اکسی خود دارد و همچنین از طریق حلقه می‌تواند در اندرکنش‌های هیدروفوبی شرکت کند؛ بنابراین می‌توان گفت که این ترکیب از طریق اندرکنش با هسته هیدروفوب آنزیم می‌تواند ساختار آنزیم را تغییر دهد و همین طور از طریق اندرکنش‌های هیدروژنی با اسید آمینه‌های باردار موجود در جایگاه فعال آنزیم می‌تواند تمایل آنزیم به سوبسترا را کاهش داده

منحنی اشباع آنزیم در محدوده غلظتی ۲-۰ میلی مولار سوبسترای cCMP، یک منحنی غیرهایپربولیک است. رفتار غیرهایپربولیک آنزیم را می‌توان به ظهور پدیده مهار سوبسترایی نسبت داد. پس از تأثیرداری آلوپورینول بر بیشینه سرعت آنزیم در محدوده غلظتی ۱-۰ و ۵-۰ میلی مولار مشخص شد که این لیگاند در محدوده غلظتی ۱-۰ میلی مولار بیشترین اثر را بر روی فعالیت آنزیم دارد و به طور قابل توجهی باعث کاهش بیشینه سرعت آنزیم می‌شود. پس از رسم منحنی اشباع آنزیم در محدوده غلظتی ۲-۰ میلی مولار سوبسترا و در حضور غلظت‌های ۱ و ۰/۵، ۰ میلی مولار آلوپورینول همان طور که در شکل ۵ مشخص است می‌توان به وضوح دید که در هر نقطه از منحنی اشباع افزایش غلظت دارو باعث کاهش فعالیت آنزیم در آن نقطه شده است. مطالعه اتصال لیگاند آلوپورینول به آنزیم ریبونوکلئاز نشان می‌دهد که این اتصال منجر به تغییر جذب آنزیم در طول موج nm ۲۸۰ شده است که نشان از تغییر ساختار آنزیم در حضور داروی آلوپورینول دارد. مطالعات ساختار دوم آنزیم ریبونوکلئاز A با استفاده از تکنیک دو رنگ نمایی دورانی Circular Dichorism (CD) نشان می‌دهد که در حضور این لیگاند درصد ساختارهای β -Turn و α -Helix، Parallel β و Random و Anti parallel β کاهش و درصد coil افزایش می‌یابد. با توجه به نتایج بدست آمده از آزمایشات می‌توان گفت که داروی آلوپورینول در غلظت‌های ذکر شده باعث تغییر ساختار آنزیم و به دنبال آن باعث تغییر فعالیت آنزیم ریبونوکلئاز پانکراس گاوی می‌گردد. ساختار آنزیم ریبونوکلئاز پانکراس گاوی یک شکل لوبيایي دارد و دارای یک



منابع

- 1- Cuchillo C.M., Vilanova M., Neguse M. V. (1997): Pancreatic ribonucleases.In Ribonucleases: Structurs and Functions (G. D'Alessio, J.F. Riordan, eds.). Academic Press, New York, pp: 271-304.
- 2- Fedorov A. A., McCarthy D. J., Fedorov E., Sirakova D., Graf I., Almo S.C. (1996): Ionic interaction in crystalline bovine pancreatic ribonuclease A. Biochmistry, 35: 15962-15979.
- 3- Gharanfoli M., Moosavi-Movahedi A.A., Safarian S., Chamani J. A. A. Saboury (2004): Calorimetric evidence for conformational transition of RNase A in the presence of cytidine 2',3'-cyclic phosphate. Thermochimica Acta, 411: 37-42.
- 4- Hatzopoulos G. N., Leonidas D. D., Kardakaris R., Kobe J., Oikonomakos N. G. (2005): The binding of IMP to Ribonuclease A., FEBS Journal, 272: 3988-4001.
- 5- Hitchings G. H. (1966): Effects of allopurinol in relation to purine biosynthesis" Ann Rheum Dis., 25: 601-607
- 6- J.A. Biosca, C.M. Cuchillo (1980): Thermodynamic studies on the hydrolysis of cytidine 2', 3'-phosphate by bovine pancreatic ribonuclease A, Biochem. J., 189: 655-657.
- 7- Kartha G., Bello J., Harker D. (1967): Tertiary structure of ribonuclease. Nature, 213: 862-865.
- 8- Kita Y., Arakawa T. (2002): Salts and glycine increase reversibility and decrease aggregation during thermal unfolding of ribonuclease A. Biosci. Biotechnol. Biochem., 66: 880-882.
- 9- Klink T. A., Woycechowsky K. J., Taylor K. M., Raines R.T. (2000): Contribution of disulfide bonds to the conformational stability and catalytic activity of ribonuclease A, Eur. J. Biochem., 267: 566-572.
- 10- Libonati M., Gotte G. (2004): Oligomerization of bovine ribonuclease A: structural and functional features of its multimers. Biochem. J., 380: 311-327.
- 11- Markel A. (2005): Allopurinol-induced DRESS syndrome. Med. Assoc. J., 7: 656-660.
- 12- McNauqhton C.O., Wilt T. (2002): "Allopurinol for chronic prostatitis" Cochrane Database Syst. Rev., 2: CD001041.
- 13- Moody T.P., Kingsbury J.S., Durant J. A., Wilson T. J., Chase S. F., Laue T. M. (2005): Valence and anion binding of bovine ribonuclease A between pH 6 and 8. Analytical Biochemistry, 336: 243-252.
- 14- Pacher P., Nivorozhkin A., Szabo C. (2006): Therapeutic affects of



xanthine oxidase inhibitors: renaissance half a century after the discovery of allopurinol. *Pharmacol Rev.*, 58: 87-114.

15- Puig J. G., Mateos F. A., Diaz V.D. (1989): Inhibition of xanthine oxidase by allopurinol: a therapeutic option for ischaemia induced pathological processes?. *Ann. Rheum. Dis.*, 48: 883-888.

16- Raines T.R. (1998): Ribonuclase A. *Chem. Rev.*, 98: 1045-1065.

17- Richard F.M. (971): Bovine pancreatic ribonuclease. *Chem. Rev.*, 99: 1145-1149.

18- Rico M., M. Bruiz, J. Santoro, C. Gonza Lez, J.L. Neira, J.L. Nieto, J. Herranz, Sequential ¹H-NMR assignment and solution structure of bovine pancreatic ribonuclease A, *Eur. J. Biol. Chem.* 183 (1989): 623-638.

19- Safarian S., Moosavi-Movahedi A. A. (2000): Binding pattern and kinetic

of RNase A interaction with RNA. *J. Protein. Chem.*, 19: 235-341.

20- Santoro J., Gonza Lez C., Bruiz M., Nieto J. L. (1993): High resolution three dimensional structure of ribonuclease A in solution by nuclear magnetic resonance spectroscopy, *J. Mol. Biol.*, 229: 722-734.

21- Smith B. D., Soellner M. B., Raines R. T. (2003): Potent inhibition of ribonuclease A by oligo (vinylsulfonic Acid). *The Journal of Biological Chemistry*, 23: 20934-20938.

22- Wang M. H., Wang Z.X., Zhao K.Y. (1996): Kinetics of inactivation of bovine pancreatic ribonuclease A by bromopyruvic acid. *Biochem. J.*, 320: 187-192.

23- Yazdanparast R., Andrews P. C., Swith D. L., Dixon J. E. (1987): Assignment of disulfide bonds in proteins by fast atom bombardment mass spectrometry. *J. Biol. Chem.*, 262: 2507-2513.